



НАНО- И МИКРОСИСТЕМНАЯ ТЕХНИКА

ISSN 1813-8586

- Нанотехнологии
- Зондовая микроскопия
- Микромашины и наносистемы
- Молекулярная электроника
- Биоактивные нанотехнологии
- Элементы датчиков и биочипы
- Микроэлектромеханические системы
- Микрооптоэлектромеханические системы
- Биомикроэлектромеханические системы

3 (152)
2013

Рисунки к статье В. В. Амеличева, В. В. Аравина,
 А. Н. Белова, А. Ю. Красюкова, А. А. Резнева, А. Н. Саурова
**«Создание интегральных компонентов усиления магнитного
 сигнала в беспроводной МЭМС на основе
 магниторезистивных элементов»**

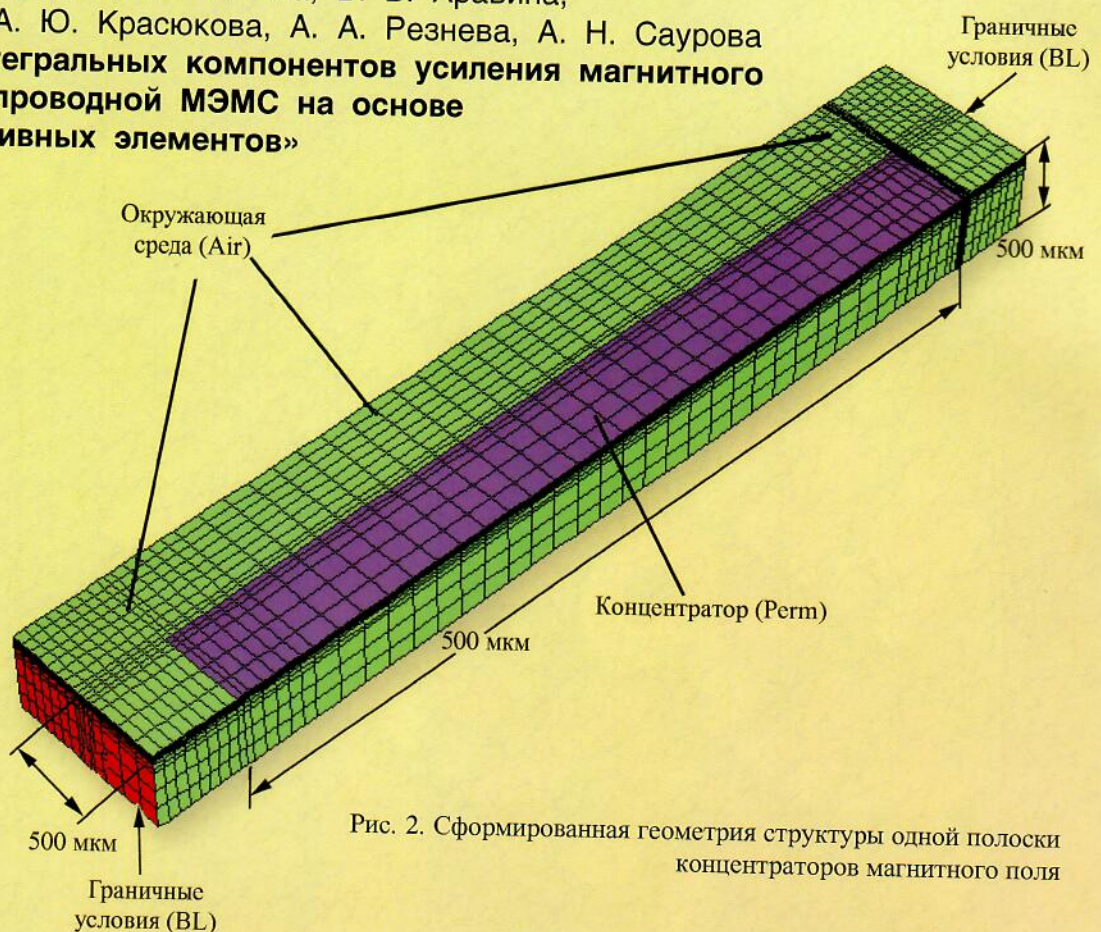


Рис. 2. Сформированная геометрия структуры одной полоски концентраторов магнитного поля

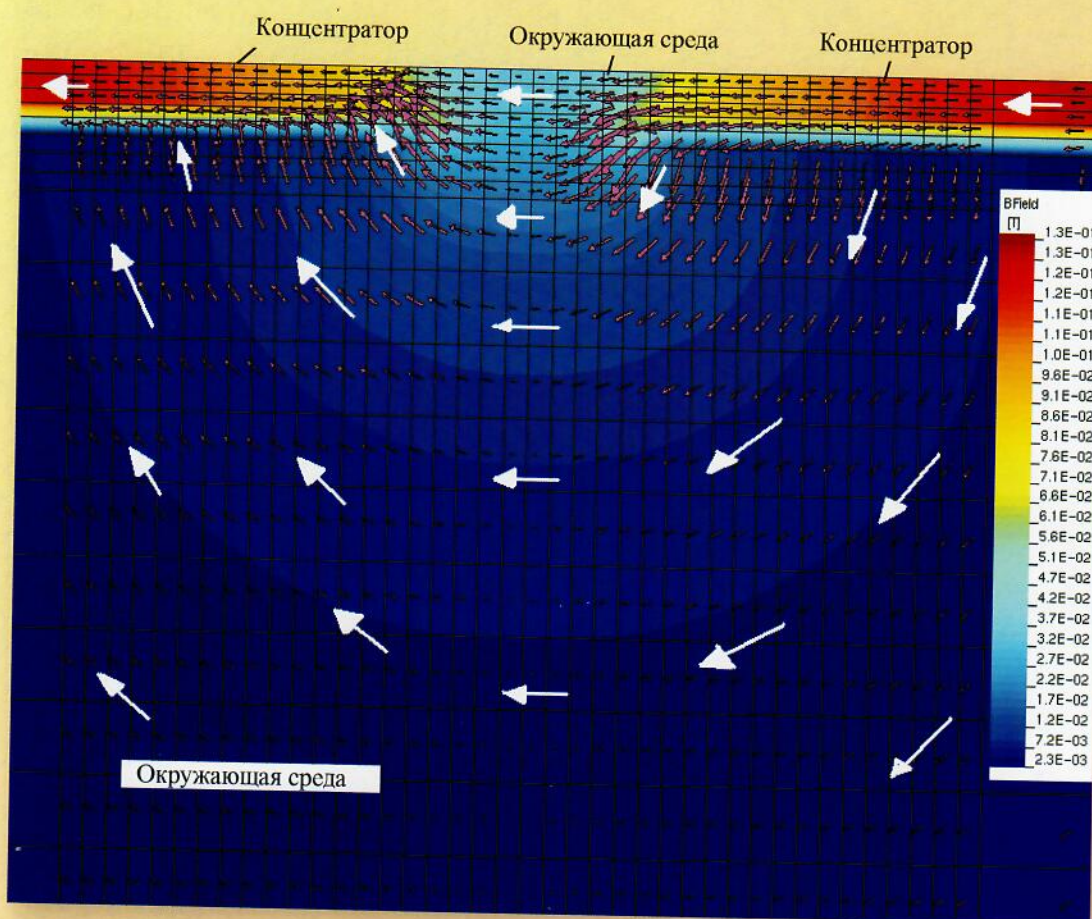


Рис. 3. Распределение магнитного поля в боковом сечении структуры концентраторов с зазором $L = 5$ мкм между двумя полосками толщиной $d = 1,5$ мкм

Рисунки к статье А. В. Минакова, А. А. Ягодницыной,
 А. С. Лобасова, В. Я. Рудяка, А. В. Бильского
**«Расчетно-экспериментальное исследование перемешивания
 жидкостей в Т-образном микроканале»**

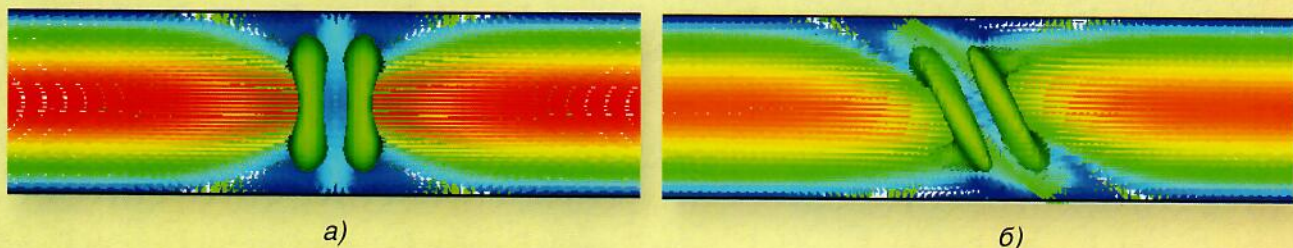


Рис. 4. Экспериментальные и расчетные поля скорости в центральном сечении микромиксера для чисел Рейнольдса 10 и 120.

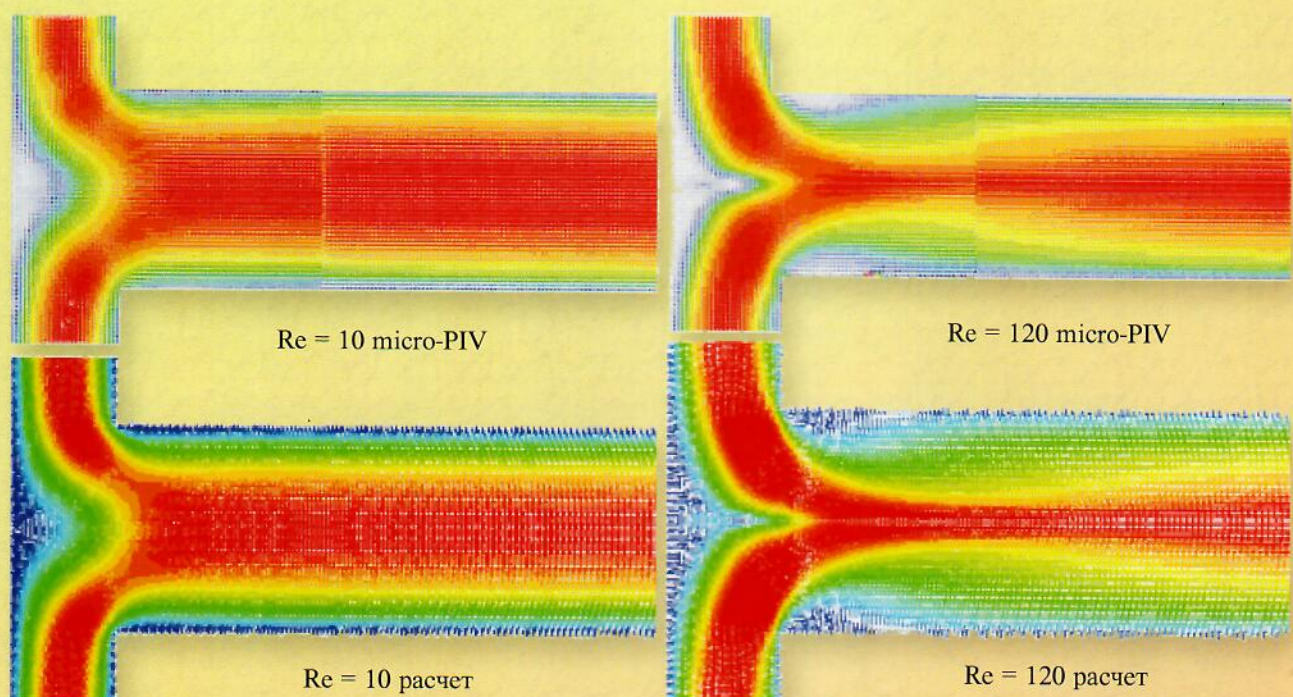


Рис. 5. Осредненные поля концентрации в центральном сечении микромиксера чисел Рейнольдса 90 и 186

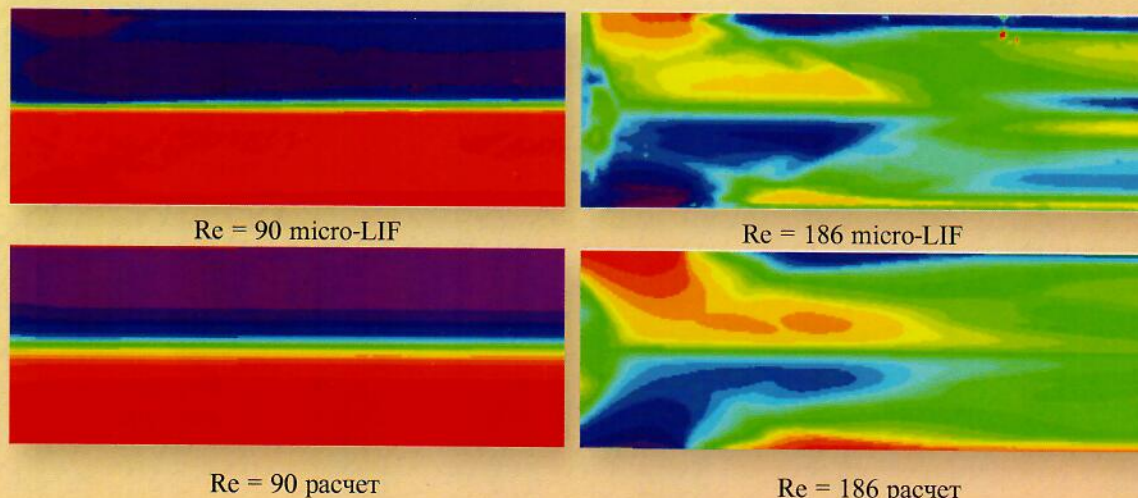


Рис. 6. Профили скорости в центральном поперечном сечении канала

Рисунки к статье А. В. Минакова, А. А. Ягодницыной,
 А. С. Лобасова, В. Я. Рудяка, А. В. Бильского
**«Расчетно-экспериментальное исследование перемешивания
 жидкостей в Т-образном микроканале»**

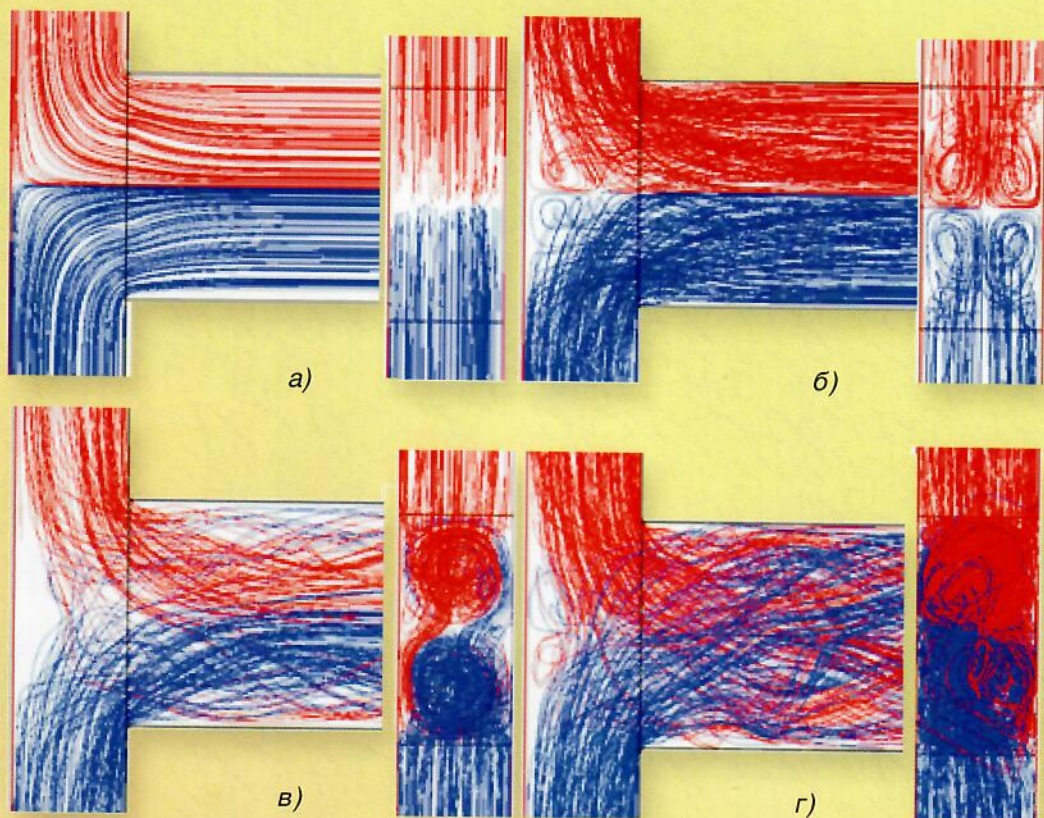


Рис. 1. Траектории частиц маркеров: *а* – $Re = 1$; *б* – $Re = 120$; *в* – $Re = 186$; *г* – $Re = 600$

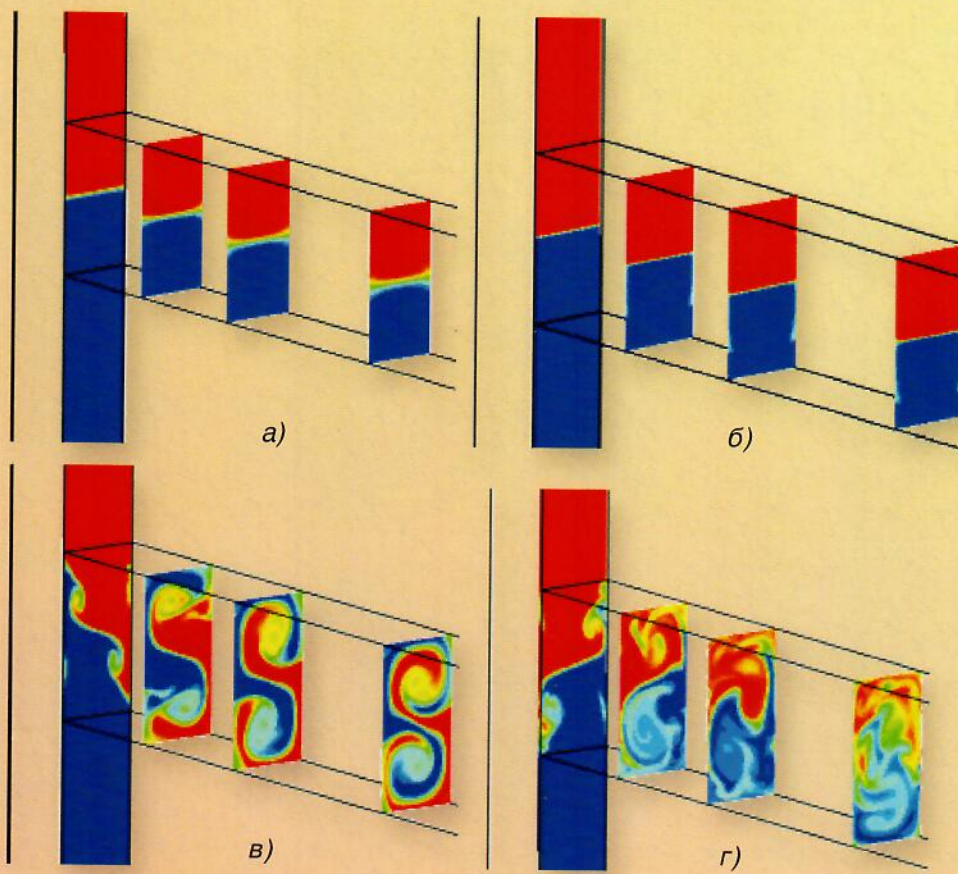


Рис. 2. Изолинии
 концентрации краски
 в продольных сечениях
 миксера:
а – $Re = 1$;
б – $Re = 120$;
в – $Re = 186$;
г – $Re = 600$